

Date

Mather 理论在多自由度系统应用上的讨论

Mather 理论在高维系统的发展是基于下面的框架：即紧流形上自然的时间周期的 Lagrangian 系统。这个框架对于许多力学系统，尤其是带有非光滑因素的力学系统是不适用的。为了克服这一问题，我们引入辛扭转映射这一概念，辛扭转映射即 $T^* \times \mathbb{R}^n \rightarrow T^* \times \mathbb{R}^n$ 的满足一定条件的映射，其为扭转映射的高维推广。在一个例子中，可以看到辛扭转映射有潜在的应用价值。

1. 辛扭转映射的设定及其主要结果

设 $(q, p) \in \mathbb{R}^{2n}$, $F: \mathbb{R}^{2n} \rightarrow \mathbb{R}^{2n}$ 为一个微分同胚。记

$F(q, p) = (Q(q, p), P(q, p))$ 。称 F 为一个辛扭转映射，若有：

1) $F(q+m, p) = F(q, p) + (m, 0), \forall m \in \mathbb{Z}^n$

2) $\eta: (q, p) \rightarrow (q, Q(q, p))$ 是 \mathbb{R}^{2n} 的微分同胚

3) $\exists h: \mathbb{R}^{2n} \rightarrow \mathbb{R}, h(q+m, Q+m) = h(q, Q), \forall m \in \mathbb{Z}^n$ 。且

$$PdQ - pdq = dh(q, Q)$$

4) $\lim_{\|Q-q\| \rightarrow \infty} h(q, Q) \rightarrow +\infty$

可以看到，辛扭转映射的设定与扭转映射几乎完全相同。

2) 条件 3 即单调扭转条件。

$$d\eta = \begin{pmatrix} I & 0 \\ \frac{\partial Q}{\partial q} & \frac{\partial Q}{\partial p} \end{pmatrix}, \text{ 若 } \det \frac{\partial Q}{\partial p} \neq 0, \text{ 则至少可以确保 } \eta \text{ 是局部}$$

的同胚，实际上，若 $\sup_{(q, p) \in \mathbb{R}^{2n}} \left\| \frac{\partial Q}{\partial p}(q, p) \right\|^{-1} < \infty$ ，则 η 是 \mathbb{R}^{2n} 上的微分同胚。

Date

注意到, 由 2) 3) F 可由 h' 来确定. 由 ψ 的定义, 由 (q, p) 可确定 (q, Q) , 再利用 $h_2(q, Q) = P$, 即确定了 P . 用公式描述即

$$F(q, p) = (Q \circ \psi(q, p), h_2 \circ \psi(q, p)).$$

类似地, 可以定义作用量

$$W(q_0, \dots, q_N) = \sum_{i=0}^{N-1} h(q_i, q_{i+1}).$$

作用量的极值对应着 F 的轨道, 我们在此不再赘述

由于在高维空间没有了一维的序结构, 辛映射扭转映射的结果较少.

主要结果: 设 F 为一个辛映射扭转映射, 则对任一相互素的整数向量 $(m, d) \in \mathbb{Z}^n \times \mathbb{Z}^+$, F 至少有 $n+1$ 个

(m, d) 型的周期轨道, 即 $F^d(q, p) = (q+m, p)$.

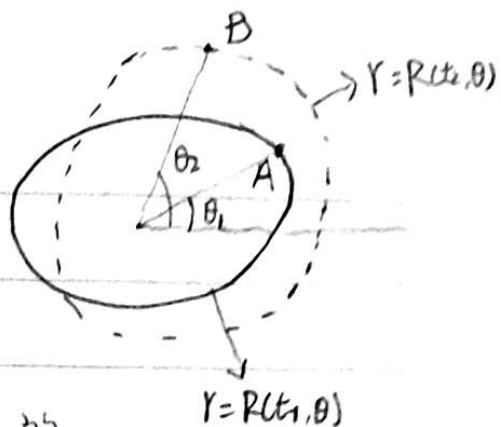
2. 一般类型的呼吸台球.

考虑在平面内依赖于时间的闭凸曲线, 设圆点始终在此曲线所围区域的内部. 在极坐标下, 设此曲线为

$r = R(t, \theta)$, $R(t, \theta)$ 关于 t, θ 都是 2π -周期的, 且 $R(t, \theta)$ 严格大于 0

当 $R(t, \theta)$ 不依赖于 θ , 一个质点在此区域内作自由运动, 即呼吸圆台球模型.

Date



图在与单自由度系统类似, 我们总是先找到作用量, 而后再确定*扭转映射. 作用量由给定的两个构型所确定的解, 积分 Lagrangian 所得到.

如图所示, 给定了构型 (t_1, θ_1) (t_2, θ_2) , 可形式上得到解,

$$A = (R(t_1, \theta_1) \cos \theta_1, R(t_1, \theta_1) \sin \theta_1)$$

$$B = (R(t_2, \theta_2) \cos \theta_2, R(t_2, \theta_2) \sin \theta_2)$$

由质点在 AB 间作自由运动, 且时间间隔为 $t_2 - t_1$, 可得到解为

$$(x(t), y(t)) = (B-A) \frac{t-t_1}{t_2-t_1} + A.$$

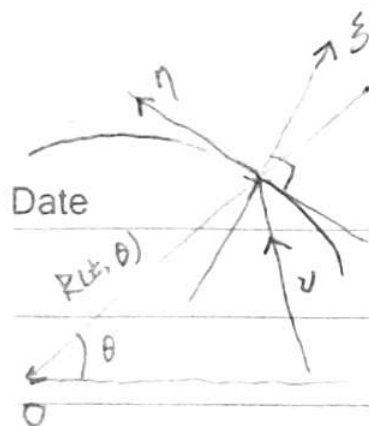
$$\text{定义 } h(t_1, \theta_1, t_2, \theta_2) = \int_{t_1}^{t_2} \frac{1}{2} (\dot{x}^2 + \dot{y}^2) dt$$

$$= \frac{1}{2(t_2-t_1)} (R^2(t_2, \theta_2) - 2 \cos(\theta_2 - \theta_1) R(t_2, \theta_2) R(t_1, \theta_1) + R^2(t_1, \theta_1)).$$

首先我们关注, 给定了构型 $\{t_i, \theta_i\}_{i \in \mathbb{Z}}$, 此构型以 h 作为

作用量达到了极值. 那么 (t_i, θ_i) 是否是一个真实运动的在碰撞时的时间与角度. 这个答案在一些条件的限制下是肯定的.

为此, 我们先来看质点在碰撞时应满足的法则



设质点以速度 $v = (x, y)$ 在 $(R(t, \theta) \cos \theta, R(t, \theta) \sin \theta)$ 处

与边界发生碰撞. 碰撞时切向速度不变, 法向相对速度改变.

设 $\tau = \frac{d}{dt} (R(t, \theta) \cos \theta, R(t, \theta) \sin \theta)$, 令 $\eta = \frac{\tau}{\|\tau\|} = (\eta_1, \eta_2)$.

令 $\xi = (\eta_2, -\eta_1)$, 则碰撞后的速度为

$$v' = \eta \langle \eta, v \rangle + \xi (-\langle \xi, v \rangle + 2\langle \xi, v \rangle)$$

其中 $v = \frac{d}{dt} (R(t, \theta) \cos \theta, R(t, \theta) \sin \theta)$. 利用

$$\begin{array}{ccc} v & \rightarrow & v' \\ \downarrow & & \downarrow \\ (r, \theta) & \rightarrow & (r', \theta') \end{array}$$

得到极坐标下的速度变化规律

$$(r, \theta) \rightarrow \left(\frac{\dot{r} R_2^2 + R^2 (-\dot{r} + 2(\dot{\theta} R_2 + R_1))}{R^2 + R_2^2}, \frac{\dot{\theta} R^2 - R_2 (-2\dot{r} + \dot{\theta} R_2 + 2R_1)}{R^2 + R_2^2} \right)$$

其中 $R_1 = \frac{d}{dt} R(t, \theta)$, $R_2 = \frac{d}{d\theta} R(t, \theta)$, 当 $\frac{d}{d\theta} R(t, \theta) \equiv 0$.

$$(r, \theta) \rightarrow (-\dot{r} + 2\dot{r}, \theta)$$

下面我们说明极值轨道 $\{t_i, \theta_i\}$ 满足碰撞规则.

$$\text{令 } L(r, \theta, \dot{r}, \dot{\theta}) = \frac{1}{2} \dot{r}^2 + \frac{1}{2} r^2 \dot{\theta}^2.$$

$$h = \int_{t_0}^{t_1} L(r, \theta, \dot{r}, \dot{\theta}) dt. \text{ 则}$$

Date

$$\begin{aligned}
 \frac{\partial h}{\partial t_0} &= -L(\dot{Y}(t_0), \dot{\theta}(t_0), Y, \theta) + \int_{t_0}^{t_1} \left(\frac{\partial L}{\partial Y} \frac{\partial \dot{Y}}{\partial t_0} + \frac{\partial L}{\partial \theta} \frac{\partial \dot{\theta}}{\partial t_0} + \frac{\partial L}{\partial Y} \frac{\partial Y}{\partial t_0} + \frac{\partial L}{\partial \theta} \frac{\partial \theta}{\partial t_0} \right) dt \\
 &= -L + \frac{\partial L}{\partial Y} \frac{\partial Y}{\partial t_0} \Big|_{t_0}^{t_1} + \frac{\partial L}{\partial \theta} \frac{\partial \theta}{\partial t_0} \Big|_{t_0}^{t_1} \\
 &= -\frac{1}{2} \dot{Y}^2 - \frac{1}{2} Y^2(t_0) \dot{\theta}^2(t_0) + \frac{\partial L}{\partial Y}(t_0) (-R_1(t_0, \theta_0) + \dot{Y}(t_0)) + \frac{\partial L}{\partial \theta}(t_0) (\dot{\theta}(t_0)) \\
 &= \frac{1}{2} \dot{Y}^2(t_0) + \frac{1}{2} Y^2(t_0) \dot{\theta}^2(t_0) - \dot{Y}(t_0) R_1(t_0, \theta_0)
 \end{aligned}$$

$$\begin{aligned}
 \frac{\partial h}{\partial \theta_0} &= \int_{t_0}^{t_1} \left(\frac{\partial L}{\partial Y} \frac{\partial \dot{Y}}{\partial \theta_0} + \frac{\partial L}{\partial \theta} \frac{\partial \dot{\theta}}{\partial \theta_0} + \frac{\partial L}{\partial Y} \frac{\partial Y}{\partial \theta_0} + \frac{\partial L}{\partial \theta} \frac{\partial \theta}{\partial \theta_0} \right) dt \\
 &= \frac{\partial L}{\partial Y} \frac{\partial Y}{\partial \theta_0} \Big|_{t_0}^{t_1} + \frac{\partial L}{\partial \theta} \frac{\partial \theta}{\partial \theta_0} \Big|_{t_0}^{t_1} = -\dot{Y}(t_0) R_2(t_0, \theta_0) - Y^2(t_0) \dot{\theta}(t_0)
 \end{aligned}$$

其中我们用了边值条件:

$$Y(t_0; t_0, t_1, \theta_0, \theta_1) = R(t_0, \theta_0), \quad Y(t_1; t_0, t_1, \theta_0, t_1) = R(t_1, \theta_1)$$

$$\theta(t_0; t_0, t_1, \theta_0, \theta_1) = \theta_0, \quad \theta(t_1; t_0, t_1, \theta_0, t_1) = \theta_1$$

类似的

$$\frac{\partial h}{\partial t_1} = -\frac{1}{2} \dot{Y}^2(t_1) - \frac{1}{2} Y^2(t_1) \dot{\theta}^2(t_1) + \dot{Y}(t_1) R_1(t_1, \theta_1)$$

$$\frac{\partial h}{\partial \theta_1} = \dot{Y}(t_1) R_2(t_1, \theta_1) + Y^2(t_1) \dot{\theta}(t_1)$$

对于极值轨道,

$$\begin{cases} \frac{\partial h}{\partial t_1}(t_0, \theta_0, t_1, \theta_1) + \frac{\partial h}{\partial t_0}(t_1, \theta_1, t_2, \theta_2) = 0 \\ \frac{\partial h}{\partial \theta_1}(t_0, \theta_0, t_1, \theta_1) + \frac{\partial h}{\partial \theta_0}(t_1, \theta_1, t_2, \theta_2) = 0 \end{cases} \Rightarrow$$

Date

$$\frac{1}{2}\dot{r}(t_1^+)^2 + \frac{1}{2}R(t_1, \theta_1)^2 \dot{\theta}(t_1^+)^2 - \dot{r}(t_1^+) R(t_1, \theta_1) =$$

$$\frac{1}{2}\dot{r}(t_1^-)^2 + \frac{1}{2}R(t_1, \theta_1)^2 \dot{\theta}(t_1^-)^2 - \dot{r}(t_1^-) R(t_1, \theta_1)$$

$$\frac{1}{2}\dot{r}(t_1^+) R(t_1, \theta_1) + R(t_1, \theta_1)^2 \dot{\theta}(t_1^+) = \dot{r}(t_1^-) R(t_1, \theta_1) + R(t_1, \theta_1)^2 \dot{\theta}(t_1^-)$$

从这两个式子中直接解出 $(\dot{r}(t_1^+), \dot{\theta}(t_1^+))$ 有两个解。

第一个解，显然是 $(\dot{r}(t_1^+), \dot{\theta}(t_1^+)) = (\dot{r}(t_1^-), \dot{\theta}(t_1^-))$ 。

第二个解即是极坐标下的碰撞规律。

为了排除第一个解，可对 $\theta_1 - \theta_0$ ， $t_1 - t_0$ 作限制使得

$$\dot{r}(t_1^+) > 0, \quad \dot{r}(t_1^-) < 0.$$

这样，变分原理的框架至少是适合于此系统的。